

# ВЛИЯНИЕ ИОНОВ РУТЕНИЯ НА МАГНИТНУЮ АНИЗОТРОПИЮ И ВОСПРИИМЧИВОСТЬ ЭПИТАКСИАЛЬНЫХ ПЛЕНОК СОСТАВА $(YPrBi)_3Fe_5O_{12}$

*Ф.В.Лисовский, Е.Г.Мансветова, Чун Ман Пак<sup>1</sup>*

Эпитаксиальные пленки висмутсодержащих ферритов-гранатов находят в настоящее время довольно широкое применение благодаря существующему в них гигантскому эффекту Фарадея [1,2]. Требования к свойствам таких пленок диктуются их конкретным назначением. В частности, при использовании пленок в устройствах визуализации магнитной записи или в датчиках магнитной индукции необходимо обеспечить максимальную чувствительность рабочей среды к внешнему магнитному полю, т.е. высокую магнитную восприимчивость  $\chi$  и малую коэрцитивную силу  $H_c$ . В бездефектных монокристаллических пленках основным фактором, ограничивающим реально достижимые значения  $\chi_{\max}$  и  $H_c^{\min}$ , является магнитная анизотропия [3].

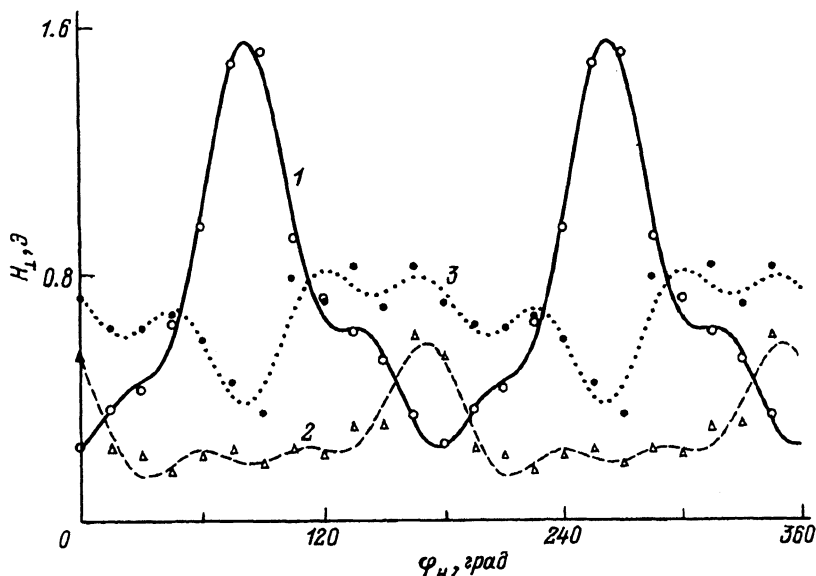
Эпитаксиальные пленки ферритов-гранатов обладают магнитокристаллической (кубической) и наведенной анизотропией. Первая константа кубической анизотропии  $\beta_{c1}$  всегда отрицательна, вторая константа  $\beta_{c2}$  может иметь любой знак [4]. При введении в состав гранатов ионов переходных  $d$ -металлов ( $Co^{2+}$ ,  $Mn^{3+}$ ,  $Ru^{3+}$ ,  $Ru^{4+}$ ,  $Os^{3+}$ ,  $Rh^{4+}$ ,  $Ir^{4+}$ ) последние дают положительный вклад в  $\beta_{c1}$  и отрицательный в  $\beta_{c2}$  [5–8], так что при определенных условиях можно добиться полной компенсации кубической анизотропии. Одноосная компонента наведенной анизотропии (характеризуемая константой  $\beta_u$ ) может быть устранена, например, за счет использования ионов  $Bi^{3+}$  и  $Pr^{3+}$  в соответствующей пропорции [9], а ромбическая компонента (описываемая константой  $\beta_p$ ) — за счет выбора ориентации подложки (перпендикулярно оси типа  $<111>$  или  $<100>$ ) и минимизации отклонения нормали к поверхности от главных кристаллографических осей.

Нами исследовалось влияние ионов рутения на магнитную анизотропию пленок состава  $(YPrBi)_3Fe_5O_{12}$  толщиной  $\approx 7$  мкм, выращенных на подложках из кальций-цирконий-магниевого граната с  $<111>$ -ориентацией. Выбранный состав шихты обеспечивал почти полную компенсацию вкладов ионов  $Bi^{3+}$  и  $Pr^{3+}$  в одноосную анизотропию [9], угол  $\theta$  между вектором намагниченности  $M$  и плоскостью пленки <sup>2</sup> не превышал  $1^\circ$ . Индукция насыщения полученных пленок ( $4\pi M$ ) незначительно отличалась от таковой для железо-иттриевого граната (1780 Гс).

Для анализа влияния ионов рутения на анизотропию были выполнены эксперименты по определению азимутальной зависимости поля перемагничивания  $H_\perp(\varphi_H)$ , причем поле  $H_\perp$  прикладывалось в базисной плоско-

<sup>1</sup> Университет Йонсей. Сеул, Республика Корея.

<sup>2</sup> Угол  $\theta = \pi/2 - \theta$ , где  $\theta$  отсчитывается от нормали к поверхности.



Ориентационные зависимости поля перемагничивания  $H_{\perp}$  для пленок с различным содержанием рутения.

1 —  $x = 0$ , 2 — 0.005, 3 — 0.01. Кривые построены по аппроксимирующим рядам Фурье с учетом гармоник до 6-й включительно.

сти, а угол  $\varphi_H$  отсчитывался от оси  $<110>$ .<sup>3</sup> Полученные результаты для пленок с различным содержанием рутения представлены на рисунке. В аппроксимирующих рядах Фурье для зависимостей  $H_{\perp}(\varphi_H)$ , как и следовало ожидать из симметрийных соображений, доминируют четные гармоники, т.е.

$$H_{\perp}(\varphi_H) \approx \sum_{n=0} (a_{2n} \cos 2n\varphi_H + b_{2n} \sin 2n\varphi_H) \approx \sum_{n=0} \rho_{2n} \cos(2n\varphi_H - \varphi_{2n}). \quad (1)$$

Значения  $\rho_{2n}$  для пленок состава  $(YPrBi)_3Fe_{5-x}Ru_xO_{12}$  с различным содержанием рутения приведены в таблице. Большие значения  $\rho_2$  и  $\rho_4$  свидетельствуют о существовании заметной наведенной анизотропии.

Коэффициенты рядов Фурье для пленок с различным содержанием Ru

$\rho_i, \Theta$	$x$			
	0	0.005	0.01	0.02
$\rho_0$	0.7257	0.2829	0.6529	3.4127
$\rho_2$	0.5234	-0.1376	-0.1353	-0.3215
$\rho_4$	0.1776	-0.0979	-0.0739	-0.0526
$\rho_6$	0.1296	-0.0572	-0.0832	-0.5245

<sup>3</sup> Перемагничивание пленок происходило путем зарождения и движения клиновидных доменов, причем с заметным последействием (характерное время релаксации составляет 1–10 с).

Плотность свободной энергии пленок при  $\theta \ll 1$  составляет [10]

$$\begin{aligned} \frac{w}{2\pi M^2} = & -2h_{\perp} \cos(\varphi - \varphi_H) - \frac{1}{108}\beta_{c2} \cos 6\varphi + \beta_u + \frac{1}{2}\beta_p - \frac{3}{2}\beta_{up} \sin^2 \vartheta_u + \\ & + \frac{1}{2}(\beta_p^{(c)} - \beta_{up} \sin^2 \vartheta_u) \cos 2(\varphi - \varphi_u) + \frac{1}{2}\beta_p^{(s)} \cos \vartheta_u \sin 2(\varphi - \varphi_u) + \\ & + \theta \left( -\beta_{up} \sin 2\vartheta_u \cos(\varphi - \varphi_u) - \beta_p^{(s)} \sin \vartheta_u \sin(\varphi - \varphi_u) + \frac{\sqrt{2}}{18}(\beta_{c2} + \right. \\ & \left. + 6\beta_{c1}) \sin 3\varphi \right) + \theta^2 \left( 1 + h_{\perp} \cos(\varphi - \varphi_H) + \frac{1}{18}(\beta_{c2} - 9\beta_{c1}) - \beta_u - \right. \\ & \left. - \frac{1}{2}\beta_p + \frac{3}{2}\beta_{up} \sin^2 \vartheta_u - \frac{1}{2}(\beta_p^{(c)} - \beta_{up} \sin^2 \vartheta_u) \cos 2(\varphi - \varphi_u) - \right. \\ & \left. - \frac{1}{2}\beta_p^{(s)} \cos \vartheta_u \sin 2(\varphi - \varphi_u) \right) + \dots, \end{aligned} \quad (2)$$

где

$$h = H/(4\pi M), \beta_{up} = \beta_u + \beta_p \cos^2 \Phi_p, \beta_p^{(c)} = \beta_p \cos 2\Phi_p, \beta_p^{(s)} = \beta_p \sin 2\Phi_p,$$

углы  $\vartheta_u$  и  $\varphi_u$  определяют величину и азимут отклонения оси легкого намагничивания от нормали к поверхности пленки, а  $\Phi_p$  — азимут оси трудного намагничивания в развитой плоскости. Если индукция насыщения  $4\pi M$  значительно превышает напряженность поля  $H_{\perp}$  и эффективного поля анизотропии (это условие хорошо выполняется в наших экспериментах), то минимизация выражения (2) по  $\theta$  дает

$$\begin{aligned} \theta_0 \approx & \frac{\sqrt{2}}{18}(\beta_{c2} + 6\beta_{c1}) \sin 3\varphi + \frac{1}{2} \left( \beta_{up} \sin 2\vartheta_u \cos(\varphi - \varphi_u) + \right. \\ & \left. + \beta_p^{(s)} \sin \vartheta_u \sin(\varphi - \varphi_u) \right), \end{aligned} \quad (3)$$

где равновесное значение угла  $\varphi = \varphi_0$  находится из условия обращения в нуль производной  $\partial w / \partial \varphi$  (ввиду громоздкости соответствующее трансцендентное уравнение не приводится). Затем можно численными методами рассчитать азимутальную зависимость поля перемагничивания, используя условие.

$$(\partial^2 w / \partial \varphi^2)(\partial^2 w / \partial \theta^2) - (\partial^2 w / \partial \varphi \partial \theta)^2 = 0. \quad (4)$$

Для анализа экспериментальных результатов, однако, достаточно учесть то, что модуль 6-ой гармоники в (1), как следует из (2) и (3), зависит только от констант кубической анизотропии, причем

$$\rho_6 \sim \beta_{c2}^* = \beta_{c2} - 6(\beta_{c1} + \beta_{c2}/6)^2. \quad (5)$$

Известно [7], что при малой концентрации ионов рутения наблюдается линейная зависимость констант от степени замещения  $x$ , т.е.

$$\beta_{c1,2} = \beta_{c1,2}^0 + a_{1,2}x, \quad (6)$$

где

$$a_{1,2} = \partial \beta_{c1,2} / \partial x,$$

откуда с учетом знаков  $\beta_{c1}^{(0)}$  и  $a_{1,2}$  [4-8] следует, что

$$\rho_6 \sim \beta_{c2}^{*(0)} - \left[ |a_2| + \left( |a_1| - \frac{|a_2|}{6} \right) \left( -|\beta_{c1}^{(0)}| + \frac{\beta_{c2}^{(0)}}{6} \right) \right] x. \quad (7)$$

Поскольку  $\beta_{c2}^{*(0)} \simeq \beta_{c2}$  и второе слагаемое в квадратных скобках выражения (7) мало по сравнению с первым, наблюдаемое поведение  $\rho_6$  (см.таблицу) свидетельствует о том, что в пленках исходного состава (без рутения) значение  $\beta_{c2}$  положительно. Обнаруженное в экспериментах изменение фазы 2-й и 4-й гармоник при легировании пленок рутением, по-видимому, объясняется тем, что ионы Ru дают ощущимый отрицательный вклад в наведенную анизотропию [11]. Заметим, однако, что амплитуды 2-й и 4-й гармоник в (1) определяются не только константами  $\beta_u$  и  $\beta_p$ , но и перекрестными членами, возникающими при подстановке (3) в (2) и содержащими произведения констант кубической и наведенной анизотропии.

Выполненные исследования показывают, что пленки ферритогранатов состава  $(YPrBi)_3Fe_{5-x}Ru_xO_{12}$  при  $x \approx 0.005$  (такая степень замещения, по-видимому, соответствует минимальным значениям констант кубической и наведенной анизотропии) обладают чрезвычайно низкими значениями поля перемагничивания (менее 1 э) и высокой магнитной восприимчивостью к полю  $H_{\perp}(10^3 - 10^4)$ . Такие квазизотропные пленки обладают большим удельным фарадеевским вращением ( $\sim 2 \cdot 10^4$  град/см на длине волны 0.63 мкм) и могут применяться в высокочувствительных системах визуализации магнитной записи.

### Список литературы

- [1] Балбашов А.М., Червоненкис А.Я. Магнитные материалы для микроэлектроники. М., 1979. 216 с.
- [2] Рандошкин В.В., Червоненкис А.Я. Прикладная магнитооптика. М., 1990. 318. с.
- [3] Вонсовский С.В. Магнетизм. М., 1971. 1032 с.
- [4] Pearson R.F. // J. Appl. Phys. 1962. V. 33. N 3. P. 1236-1242.
- [5] Hansen P. // Phys. Rev. 1970. V. B3. N 3. P. 862-870.
- [6] Hansen P. // Phys. Rev. 1972. V. B5. N 9. P. 3737-3746.
- [7] Hansen P., Krishnan R. // J. de Physique. 1977. V. 38. N 4. P. C1-147-C1-155.
- [8] Antonini B., Krishnan R., Paoletti A., Paroli P., Pisarev R., Tucciarone A. // IEEE Trans. on Magnetics. 1981. V. MAG-17. N 6. P. 3223-3225.
- [9] Hansen P., Klades C.P., Witter K. // J. Appl. Phys. 1986. V. 60. N 2. P. 721-727.
- [10] Балбашов А.М., Дикштейн И.Е., Лисовский Ф.В., Мансветова Е.Г., Филимоно娃 Л.М., Чижик Е.С. // Микроэлектроника. 1990. Т. 19 № 1. С. 45-54.
- [11] Gyorgy E.M., Luther L.C., Le Graw R.C., Blank S.L. // J. Appl. Phys. 1981. V. 52. N 3. P. 2326-2331.

Институт радиотехники и электроники  
Фрязино, Московская область

Поступило в Редакцию  
6 июня 1993 г.